

Б. А. КОРБУТ, Ю. И. НАГОРНЫЙ

УСТОЙЧИВОСТЬ СФЕРИЧЕСКОЙ ОБОЛОЧКИ, СОДЕРЖАЩЕЙ УПРУГИЙ ЗАПОЛНИТЕЛЬ

Рассматривается замкнутая тонкостенная сферическая оболочка, содержащая внутри упругий заполнитель. Заполнитель может быть сплошным, иметь сферическую полость или представлять шаровой слой, соединенный внутри с другой оболочкой или с твердым телом.

Изучается устойчивость рассматриваемой оболочки в линейной постановке при действии внешнего равномерного давления.

Для оболочки используются уравнения пологих оболочек в смешанной форме. Заполнитель представляется двумя моделями. В первой, приближенной модели, его деформация описывается одним уравнением теории упругости относительно радиального перемещения. Два других перемещения принимаются равными нулю, а соответствующие им уравнения исключаются. Принятое допущение о перемещениях опровергается, если заполнитель связан с оболочкой, для которой справедливы уравнения теории пологих оболочек. Для таких оболочек, как известно, тангенциальные перемещения малы по сравнению с нормальными. Для второй модели, называемой тонкой, деформация заполнителя определяется с помощью общих уравнений трехмерной теории упругости.

1. Уравнение устойчивости сферической оболочки имеет вид [1]

$$\frac{D}{h} \nabla^6 w + \frac{q - q_s^0}{2h} \nabla^4 w + \frac{E}{R^2} \nabla^2 w + \frac{1}{h} \nabla^2 q_s = 0 \quad (1.1)$$

Здесь: w — прогиб, D — цилиндрическая жесткость, E — модуль упругости, R и h — радиус и толщина оболочки, q — внешнее давление, q_s^0 и q_s — реакции заполнителя соответственно в докритической и послекритической стадиях, ∇^2 — оператор Лапласа, $\nabla^4 = \nabla^2 \nabla^2$, $\nabla^6 = \nabla^2 \nabla^2 \nabla^2$.

В случае двух оболочек, соединенных заполнителем, используются два уравнения вида (1.1), причем параметры внешней оболочки снабжаются индексом «+», а внутренней «—». Неизвестные реакции q_s^0 и q_s находятся из уравнения равновесия заполнителя.

2. Используя первую модель, уравнение равновесия заполнителя запишем в виде [2]

$$\begin{aligned} & (\mu_s + 2\mu_s) \left(r^2 \frac{\partial^2 u_r}{\partial r^2} + 2r \frac{\partial u_r}{\partial r} - 2u_r \right) + \\ & + \mu_s \left(\operatorname{ctg} \theta \frac{\partial u_r}{\partial \theta} + \frac{\partial^2 u_r}{\partial \theta^2} + \frac{1}{\sin^2 \theta} \frac{\partial^2 u_r}{\partial \varphi^2} \right) = 0 \end{aligned} \quad (2.1)$$

где u_r — радиальное перемещение, μ_s и λ_s — постоянные Ляме, r , θ и φ — сферические координаты.

Решением уравнения (2.1) будет

$$u_r = (C_1 r^k + C_2 r^p) Y(\theta, \varphi) \quad (2.2)$$

$$z = \sqrt{9 + 4\gamma(1 - 2\nu_s)/2(1 - \nu_s)}, \quad \gamma = n(n+1), \quad k = \frac{\alpha - 1}{2}, \quad p = -\frac{\alpha + 1}{2}$$

Здесь $Y(\theta, \varphi)$ — поверхностная сферическая функция порядка n ($n = 0, 1, 2, \dots$), ν_s — коэффициент Пуассона заполнителя, C_1 и C_2 — постоянные.

Границные условия для различных случаев имеют вид:

заполнитель сплошной

$$\begin{aligned} u_r &= w, \quad \sigma_r = -q_s, \quad r = R \\ u_r &\neq \infty, \quad r = 0 \end{aligned} \quad (2.3)$$

заполнитель с полостью радиуса a

$$\begin{aligned} u_r &= w, \quad \sigma_r = -q_s, \quad r = R \\ \sigma_r &= 0, \quad r = a \end{aligned} \quad (2.4)$$

заполнитель, содержащий твердое тело радиуса a

$$\begin{aligned} u_r &= w, \quad \sigma_r = -q_s, \quad r = R \\ u_r &= 0, \quad r = a \end{aligned} \quad (2.5)$$

заполнитель, связанный с двумя оболочками

$$\begin{aligned} u_r &= w_+, \quad \sigma_r = -q_{s+}, \quad r = R \\ u_r &= w_-, \quad \sigma_r = q_{s-}, \quad r = a \end{aligned} \quad (2.6)$$

Радиальное напряжение определяется законом Гука

$$\sigma_r = (\lambda_s + 2\mu_s) \frac{\partial u_r}{\partial r} + 2\lambda_s \frac{u_r}{r} \quad (2.7)$$

Используя (2.2) — (2.7), реакцию заполнителя можно выразить через прогиб оболочки (оболочек).

Подставляя найденную реакцию (реакции) в уравнение (1.1), используя соотношение [3]

$$\nabla^2 w = -\frac{\gamma}{R^2} w \quad (2.8)$$

и имея в виду, что в соответствии с (2.8) w — гармоническая поверхностная функция, получим

$$\varphi^* = (1 + \delta) \left[\frac{\gamma}{12(1 - \nu^2)} \eta + \frac{1}{\eta^2} + \frac{E_s^*}{\eta^2} M \right] \quad (2.9)$$

Для сплошного заполнителя

$$M = \nu_{s1} \left[\frac{1}{2} \sqrt{9 + 4\nu_{s2}\gamma} + \nu_{s3} \right] \quad (2.10)$$

$$\begin{aligned} \nu_{s1} &= \frac{1 - \nu_s}{(1 + \nu_s)(1 - 2\nu_s)}, & \nu_{s2} &= \frac{1 - 2\nu_s}{2(1 - \nu_s)}, & \nu_{s3} &= \frac{5\nu_s - 1}{2(1 - \nu_s)} \\ \nu_{s4} &= (1 - \nu)/2(1 - 2\nu_s), & \delta &= E_s^* \nu_{s4} \end{aligned}$$

Для заполнителя с полостью

$$\begin{aligned} M &= \nu_{s1}(1 - \varepsilon^3) \left[\left(\frac{x}{2} \right)^2 - \nu_{s3} \right] \left[\left(\frac{x}{2} + \nu_{s3} \right) \varepsilon^2 + \left(\frac{x}{2} - \nu_{s3} \right) \right]^{-1} \quad (2.11) \\ \delta &= E_s^* \frac{(1 - \varepsilon^3)(1 - \nu)}{\varepsilon^3(1 + \nu_s) + 2(1 - 2\nu_s)} \end{aligned}$$

Для заполнителя, содержащего твердое тело,

$$\begin{aligned} M &= \nu_{s1}(1 - \varepsilon^3) \left[\left(\frac{x}{2} + \nu_{s3} \right) + \varepsilon^3 \left(\frac{x}{2} - \nu_{s3} \right) \right] \quad (2.12) \\ \delta &= E_s^* \frac{1 - \nu}{2} \left[1 + 2\varepsilon^3 \frac{1 - 2\nu_s}{1 + \nu_s} \right] [(1 - \varepsilon^3)(1 - 2\nu_s)]^{-1} \end{aligned}$$

Для заполнителя, связанного с двумя оболочками, вместо (2.8) используются выражения

$$\nabla^2 w_+ = -\frac{\gamma}{R^2} w_+, \quad \nabla^2 w_- = -\frac{\gamma}{a^2} w_- \quad (2.13)$$

Подстановка (2.13) и реакций заполнителя, найденных с помощью (2.2), (2.6), (2.7), в уравнения устойчивости оболочек вида (1.1) дает

$$(\psi_1 - \varepsilon^3 \gamma)(\psi_2 - \varepsilon^3 \gamma) - \psi_3 \psi_4 = 0 \quad (2.14)$$

$$\psi_1 = \frac{1 + \delta_1}{12(1 - \nu_+^2)} z_+ \gamma^2 + \frac{1 + \delta_1}{z_-} (1 + E_s^* \nu_{s1} H_1)$$

$$\psi_2 = \frac{(1 + \delta_1) z_+}{12(1 - \nu_+^2) E_s^* h^* G_{11}} r_+^2 + \frac{(1 + \delta_1) \varepsilon^3 h^*}{G_{11} z_+} (1 - E_s^* \varepsilon \nu_{s1} H_2)$$

$$\psi_3 = E_s^* \varepsilon \nu_{s1} H_3, \quad \psi_4 = \frac{1 + \delta_1}{z_+} E_s^* \nu_{s1} H_4$$

$$H_1 = \frac{2\nu_s}{1 - \nu_s} + \frac{k - \varepsilon^3 p}{1 - \varepsilon^3}, \quad H_2 = \frac{2\nu_s}{1 - \nu_s} + \frac{p - k \varepsilon^3}{1 - \varepsilon^3}$$

$$H_3 = \frac{\varepsilon^3}{\varepsilon^p - \varepsilon^k}, \quad H_4 = \frac{\varepsilon}{\varepsilon^2 (\varepsilon^p - \varepsilon^k)}$$

$$G_1 = 3E_s^* \varepsilon^3 (1 - \nu_s) \nu_{s1} \left[2(1 - \varepsilon^3) + E_s^* \varepsilon (1 - \nu_-) \left(\frac{2}{1 + \nu_s} + 3\varepsilon^3 \nu_{s1} \right) \right]^{-1}$$

$$G_2 = \frac{1}{1-\varepsilon^2} \left| \frac{1}{1-2\nu_s} + \frac{2}{1+\nu_s} \varepsilon^2 - 3G_1 \varepsilon^2 \nu_{s1} \right|, \quad \delta_1 = E_s^* G_2 \frac{1-\nu_s}{2}$$

Безразмерные параметры имеют вид:

$$\begin{aligned} \varepsilon^* &= \frac{qR^2}{2E_s h_*^2}, \quad \chi_+ = \frac{h_+}{R}, \quad \varepsilon = \frac{a}{R} \\ E_s^* &= \frac{E_s R}{E_+ h_+}, \quad h^* = \frac{h_+}{h_-}, \quad \gamma = \frac{E_- h_-}{E_+ h_+} \frac{1-\nu_+}{1-\nu_-} \end{aligned} \quad (2.15)$$

Критическое давление определяется из условия

$$\frac{\partial \varepsilon^*}{\partial \eta} = 0$$

Имеют место предельные переходы. Приняв в (2.11) $\varepsilon = 0$, получим (2.10); в случае $E_- \rightarrow \infty$ уравнение (2.14) переходит в (2.12).

Заметим, что коэффициенты δ и δ_1 , учитывающие докритическое обжатие, получаются из общего решения, если принять $\gamma = 0$. Аналогично определяется и q_s^0 .

3. Для второй модели уравнение равновесия будет [4]

$$\nabla^2 \bar{u} + \frac{1}{1-2\nu_s} \operatorname{grad} \operatorname{div} \bar{u} = 0 \quad (3.1)$$

Здесь \bar{u} — вектор полного перемещения, grad и div — известные операторы.

Решение (3.1) возьмем в виде [5]

$$\begin{aligned} u_r &= \frac{1}{2\nu_s} \frac{\partial \Phi}{\partial r}, \quad u_\theta = \frac{1}{2\nu_s} \frac{1}{r} \frac{\partial \Phi}{\partial \theta}, \quad u_\varphi = \frac{1}{2\nu_s} \frac{1}{r \sin \theta} \frac{\partial \Phi}{\partial \varphi} \quad (3.2) \\ \Phi &= \cos \varphi \sin \theta \frac{\partial \Phi_1}{\partial r} + \frac{\cos \varphi \cos \theta}{r} \frac{\partial \Phi_1}{\partial \theta} + \\ &+ \frac{\cos \varphi}{r \sin \theta} \frac{\partial \Phi_2}{\partial \varphi} + \cos \theta \frac{\partial \Phi_3}{\partial r} - \frac{\sin \theta}{r} \frac{\partial \Phi_3}{\partial \theta} - \\ &- \frac{\sin \varphi}{r \sin \theta} \frac{\partial \Phi_1}{\partial \varphi} + \sin \varphi \sin \theta \frac{\partial \Phi_2}{\partial r} + \frac{\sin \varphi \cos \theta}{r} \frac{\partial \Phi_3}{\partial \varphi} \end{aligned}$$

Φ_1, Φ_2, Φ_3 — гармонические функции.

Ограничившись случаем сплошного заполнителя, примем

$$\Phi_1 = Ar^m Y(\theta, \varphi), \quad \Phi_2 = Br^m Y(\theta, \varphi) \quad (3.3)$$

$$\Phi_3 = Cr^m Y(\theta, \varphi), \quad m = \frac{z_1 - 1}{2}, \quad z_1 = \sqrt{1 + 4\eta}$$

Здесь A, B и C — постоянные.

Условия сопряжения с оболочкой будут

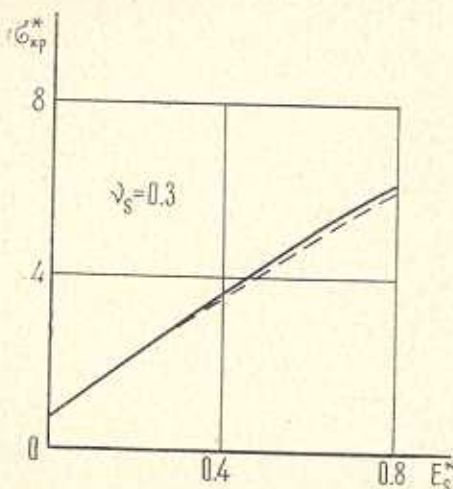
$$u_r = w, \quad \tau_{r\theta} = 0, \quad \tau_{r\varphi} = 0, \quad \varepsilon_r = -q_s \quad r = R \quad (3.4)$$

$$\begin{aligned} \tau_r &= \lambda_s \operatorname{div} \bar{u} + 2\mu_s \frac{\partial u_r}{\partial r}, & \tau_{r\theta} &= \mu_s \left[\frac{1}{r} \frac{\partial u_r}{\partial \theta} + r \frac{\partial}{\partial r} \left(\frac{u_\theta}{r} \right) \right] \\ \tau_{r\varphi} &= \mu_s \left[\frac{1}{r} \frac{1}{\sin \theta} \frac{\partial u_r}{\partial \varphi} + r \frac{\partial}{\partial r} \left(\frac{u_\varphi}{r} \right) \right] \end{aligned}$$

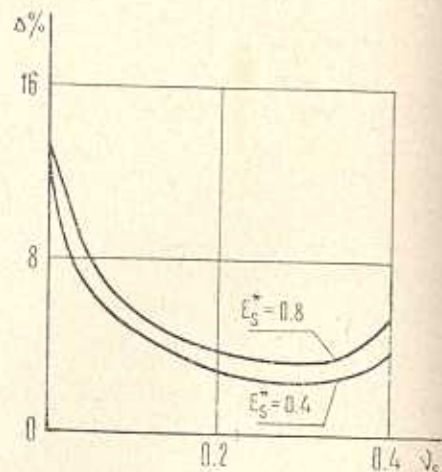
Для удовлетворения краевых условий (3.4) используем принцип смягчения граничных условий [6]. Учитывая, кроме того, что последние три слагаемых в Φ -гармонические функции в смысле метода Бубнова-Галеркина, а остальные—гармонические точно, получим выражение, аналогичное (2.9), в котором

$$M = \frac{1}{1 + \gamma_s} \left| \frac{1}{2} \sqrt{1 + 4\gamma_s} - 2.5 \right|, \quad n \geq 2 \quad (3.5)$$

4. Критические давления были вычислены на основе приближенной и точной моделей заполнителя при следующих данных: $\varepsilon = 0$, $x = 1/250$,



Фиг. 1



Фиг. 2

$\nu = 0.3$; параметры E_s^* и γ_s варьировались. На фиг. 1 показана зависимость критического давления от жесткости заполнителя E_s^* . Сплошная линия соответствует приближенной модели, пунктирная—точной. На фиг. 2 дана относительная погрешность Δ , вносимая в расчет приближенной моделью.

Из приведенных графиков видно, что в практически важном диапазоне изменения жесткости и коэффициента Пуассона заполнителя приближенная модель дает удовлетворительное согласование с точной моделью.

В. А. КОРБУТ, ЗИГ. В. НАГОРНЫЙ

ОБРАЗОВАНИЕ 130-Ю МАССИВА ПОД ГУДОМ РАСПРОСТРАНЕННОГО УСТАНОВЛЕННОГО

Итоги

Задача о стабильности сферической оболочки с упругим заполнителем решена в общем виде для случая, когда оболочка имеет одинаковую толщину и одинаковую модуль упругости по всему радиусу. Решение получено в виде интеграла, который выражается через интегралы от гипергеометрических функций. Для этого случая получены формулы для определения радиуса кривизны оболочки и ее толщины, а также для определения радиуса кривизны оболочки и ее толщины.

На основе полученных формул для определения радиуса кривизны оболочки и ее толщины получены формулы для определения радиуса кривизны оболочки и ее толщины.

STABILITY OF A SPHERICAL SHELL WITH AN ELASTIC CORE

B. A. KORBUT, Y. I. NAGORNY

Summary

A study on a closed spherical shell with an elastic core is presented.

The cases of a continuous core, a core with a cavity, a core having a shell or a rigid body inside are examined.

The spherical shell is assumed to be subject to the action of external uniform pressure.

Approximate and exact models are employed to determine deformations of the core. One equation of elasticity in terms of radial displacement and three equations of elasticity are used for the approximate and exact models respectively. The agreement of the results obtained on the basis of both models is found to be satisfactory.

ЛИТЕРАТУРА

1. Вольмир А. С. Устойчивость деформируемых систем. Изд. "Наука", М., 1967.
2. Аль А. Математическая теория упругости. ОНТИ, 1935.
3. Бласов В. З. Изд. тр., т. 1. Изд-во АН СССР, 1962.
4. Треффер Е. Математическая теория упругости. ОНТИ, 1934.
5. Рекач В. Г. Руководство к решению задач по теории упругости. "Высшая школа" - М., 1966.
6. Лейбенсон А. С. Собр. тр., т. 1. Изд-во АН СССР, 1951.